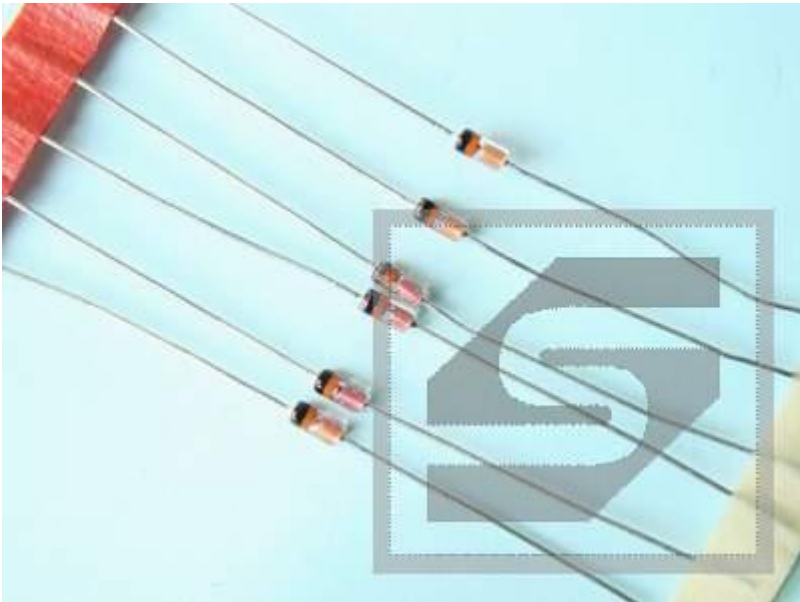




# Dioda BACP95 CEMI 0.2A 75V <4ns DO35 szybka, impulsowa taśma



## Dane techniczne:

Nazwa: BACP95

Maksymalne napięcie: 75V

Maksymalny prąd: 200mA

Obudowa: DO35

Charakterystyka diody: szybka, impulsowa

Montaż: przewlekany (THT)

Producent: CEMI

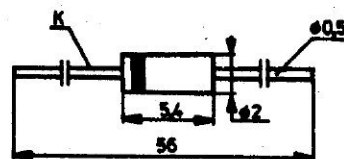
Oznaczenie wyrobu	Parametry graniczne / $t_{amb} = 25^{\circ}C$ /				Parametry charakterystyczne / $t_{amb} = 25^{\circ}C$ /						Zastosowanie	Obudowa
	$\frac{U_R}{U_{RRM}}$	$\frac{I_F}{I_{FM}}$	$P_{tot}$	$t_j$	$U_F$ przy		$I_R$ przy		$t_{rr}$	$C_T$		
	V	mA	mW	$^{\circ}C$	V	mA	nA	V	ns	pF		
	max	max	max	max	max		max		max	/typ/ max		
1	2	3	4	5	6	7	8	9	10	11	12	13
BAAP 57 <sup>1/</sup>	/400/	400		150	1,3	1	5000	400	500	/2/	a	CE 31
BAAP 58 <sup>1/</sup>	/600/	400		150	1,3	1	5000	600	500	/1,8/	a	CE 31
BAAP 59 <sup>1/</sup>	/1000/	400		150	1,3	1	5000	1000	500	/1,6/	a	CE 31
BABE 95	50	2x80 /2x200/	200	175	1	50	100	50	2	2	b	CE 45
BACE 95	50	80/200/	150	175	1	50	100	50	2	2	b	CE 45
BACE 95 R	50	80/200/	150	175	1	50	100	50	2	2	b	CE 45
BACP 61	75	100	500	200	1	10	25	20	4	4	c	CE 02
BACP 95	50	200 /450/	500	200	1	50	50	50	2	2	c	CE 02
BADE 95	50	2x80 /2x200/	200	175	1	50	100	50	2	2	b	CE 45
BAFP 10	50	300	500	200	0,92	100	100	50	4	2,5	e	CE 02
BAFP 19	100	/250/	400	175	1	100	100	100	50 <sup>2/</sup>	5	d	CE 02
BAFP 20	150	/250/	400	175	1	100	100	150	50 <sup>2/</sup>	5	d	CE 02
BAFP 24	200	/250/	400	175	1	100	100	200	50 <sup>2/</sup>	5	d	CE 02

- a szybkie układy prostownicze  
 b układy hybrydowe  
 c szybkie przełączniki, modulatory, dekodery  
 d przełączniki  
 e układy przełączające wysokiej jakości

$$1/ I_{FRM} \leq 2 \text{ A przy } f = 50 \text{ Hz, } t = 10 \text{ ms}$$

$$t_{rr} \text{ przy } I_F = I_R = 10 \text{ mA, } i_{rr} = 1 \text{ mA}$$

$$2/ t_{rr} \text{ przy } I_F = I_R = 30 \text{ mA, } R_L = 100 \Omega, i_{rr} = 3 \text{ mA}$$



CE 02	DO 35		CB102
-------	-------	--	-------

## Wykaz oznaczeń parametrów technicznych

$C_r$	pojemność diody przy określonym napięciu wstecznym	$R_L$	rezystancja obciążenia
$\frac{C_r/U_{R1}}{C_r/U_{R2}}$	stosunek pojemności	$t$	czas trwania impulsu
$\frac{d_{i_T}}{d_t}$	krytyczna stromość narastania prądu przewodzenia	$t_{amb}$	temperatura otoczenia
$f_p$	częstotliwość pomiarowa	$t_{case}$	temperatura obudowy
$I_F$	prąd przewodzenia	$t_j$	temperatura złącza
$I_{FM}$	szczytowy prąd przewodzenia	$t_r$	czas narastania
$I_{FRM}$	powtarzalny szczytowy prąd przewodzenia	$t_{rr}$	czas ustalania charakterystyki wstecznej
$I_{FSM}$	niepowtarzalny szczytowy prąd przewodzenia	$U_D$	napięcie blokowania
$I_G$	prąd bramki	$U_{DRM}$	powtarzalne szczytowe napięcie blokowania
$I_{GT}$	przełączający prąd bramki	$U_{DSN}$	niepowtarzalne szczytowe napięcie blokowania
$I_O$	średni prąd wyprostowany	$U_F$	napięcie przewodzenia diody
$I_R$	prąd wsteczny	$U_{FSM}$	niepowtarzalne szczytowe napięcie przewodzenia
$i_{rr}$	prąd ustalenia charakterystyki wstecznej	$U_{GT}$	napięcie przełączające bramki
$I_T$	skuteczny prąd przewodzenia tyrystora	$U_R$	napięcie wsteczne
$I_{T/AV/}$	średni prąd przewodzenia tyrystora	$U_{RM}$	szczytowe napięcie wsteczne
$I_{T/RMS/}$	skuteczny prąd przewodzenia tyrystora	$U_{RRM}$	powtarzalne szczytowe napięcie wsteczne
$I_{TSM}$	niepowtarzalny szczytowy prąd przewodzenia tyrystora	$U_{RSM}$	niepowtarzalne szczytowe napięcie wsteczne
$I_Z$	prąd stabilizacji	$U_{RWM}$	szczytowe napięcie wsteczne pracy
$P_{tot}$	moc całkowita	$U_T$	napięcie przewodzenia tyrystora
$P_{GM}$	straty mocy w bramce	$U_Z$	napięcie stabilizacji
$Q$	dobroć	$\alpha_{UF}$	współczynnik temperatury stabilizacji w kierunku przewodzenia
$r_F$	rezystancja dynamiczna w kierunku przewodzenia	$\alpha_{UZ}$	współczynnik temperaturowy napięcia stabilizacji
$r_S$	rezystancja szeregową	$\theta$	kąt przepływu
$r_Z$	rezystancja dynamiczna		